

УДК 539.494.01

**РЕШЕНИЕ СЕКУЛЯРНЫХ УРАВНЕНИЙ УИЛСОНА
И ЦИВИНА МЕТОДОМ ЛОГАРИФМИЧЕСКИХ ШАГОВ.
ПРИМЕНЕНИЕ К ГАЛОГЕННЫМ КОМПЛЕКСАМ XY_6
С СИММЕТРИЕЙ O_h**

Эдгар Уэндинг и Саад Махмуди

Предлагается метод логарифмических шагов, позволяющий вычислить полный набор силовых постоянных и полный набор среднеквадратичных амплитуд колебаний, не используя другие экспериментальные данные, кроме значений нормальных частот. Этот метод был успешно применен к 16 октаэдрическим группам XY_6 . Силовые константы силового поля обобщенной валентности значительно превышают величины, полученные в рамках силовых полей Юри—Бредли.

1. Введение

Недавно нами был предложен метод расчета силового поля молекул — метод логарифмических шагов (МЛШ) с разблокированием [1, 2], позволяющий исключить применение произвольных гипотез в рамках так называемого силового поля обобщенной валентности [3, 5, 17–22, 25] (СПОВ). Этот метод, близкий к методу Фадини [4], имеет по сравнению с методом Фадини три важных преимущества, изложенных в [2].

Напомним, что МЛШ позволяет 1) решить секулярное уравнение Вильсона

$$|GF - \lambda_i E| = 0 \quad (1)$$

(обозначения см. [1]) и рассчитать полную матрицу F , близкую к единичной матрице, имеющей физический смысл; 2) решить модифицированное секулярное уравнение Цивина

$$|G\Sigma^{-1} - \Delta_i^{-1}E| = 0 \quad (2)$$

(обозначения см. [2]) и рассчитать полную матрицу Σ , близкую к единичной матрице, имеющей физический смысл.

«Разблокирование» позволяет определить полный набор силовых констант f , а также полный набор среднеквадратичных амплитуд СПОВ

МЛШ не требует произвольных гипотез, он не требует также дополнительных экспериментальных данных. Метод оказался удовлетворителем для $n=2$ (n — число нормальных частот одинакового типа симметрии в случае тетраэдрических групп XY_4) [1, 2].

Целью настоящей работы является применение МЛШ к группам XY_6 с симметрией O_h .

Было выбрано 16 групп, для которых известны из литературы 6 фундаментальных частот. Для 11 нейтральных гексафторидов использовали частоты, предложенные Писториусом [5]; для PtF_6 были применены частоты выбранные Классеном [6]. Для 5 анионов мы использовали частоты, найденные Нагараджаном [7].

2. Расчет силовых констант в рамках СПОВ

Примененные нами обозначения совпадают с используемыми в^[1, 2].

Матрицы \mathbf{G} и \mathbf{F} являются диагональными по блокам, а их элементы располагаются как элементы шестимерной (6×6) матрицы. Им отвечают частоты колебаний $\nu_1(A_{1g})$, $\nu_2(E_g)$, $\nu_5(T_{2g})$, $\nu_6(T_{2u})$, $\nu_3(T_{1u})$ и $\nu_4(T_{1u})$.

Для любой группы $XY_6(O_h)$ гармоническая потенциальная функция V СПОВ определяется формулой

$$2V = \tilde{\mathbf{R}}\mathbf{F}'\mathbf{R}, \quad (3)$$

где \mathbf{R} — матрица-столбец внутренних координат ($\Delta r_1, \Delta r_2, \Delta r_3, \Delta r_4, \Delta r_5, \Delta r_6, \Delta\alpha_{12}, \Delta\alpha_{23}, \Delta\alpha_{34}, \Delta\alpha_{45}, \Delta\alpha_{56}, \Delta\alpha_{61}, \Delta\alpha_{13}, \Delta\alpha_{24}, \Delta\alpha_{35}, \Delta\alpha_{46}, \Delta\alpha_{51}$ и $\Delta\alpha_{62}$) (для нумераций координат и обозначений см. рисунок), $\tilde{\mathbf{R}}$ — транспонированная матрица, \mathbf{R}, \mathbf{F}' — матрица Классена^[6]. Их элементы образуются из 11 силовых постоянных: $f_r[f_d], f_a[f_a], f_{rr}[f_{dd}], f_{rr}[\delta], f_{aa}[\varepsilon], f'_{aa}[\varepsilon], f''_{aa}[\gamma], f_{ra}[f_{du}], f'_{ra}[\tau]$ и $f''_{ra}[\rho]$. Обозначения отличаются от обозначений Классена^[6] (эти последние написаны в скобках); подобные обозначения применены нами при изучении групп T_d ^[2].

Писториус дал четкие определения этих силовых констант (нами был заменен индекс d Писториуса индексом r). Он также представил выражения элементов матриц \mathbf{F} и \mathbf{G} . Однако для строгости^[6] следует умножить элементы F_{44}, F_{55} и F_{66} на r_e^2 (r_e — равновесное расстояние $X-Y$) и F_{34} на r_e . Параллельно следует разделить G_{44}, G_{55} и G_{66} на r_e^2 и G_{34} на r_e .

Элементы F_{11}, F_{22}, F_{55} и F_{66} вычисляются сразу. Элементы F_{33}, F_{34} и F_{44} были вычислены нами при использовании 150 логарифмических шагов (без пост-итераций^[2]), которые не являлись необходимыми).

Исходя из элементов матрицы \mathbf{F} , можем построить матрицу \mathbf{F}^* ^[1, 2], учитывая при этом дополнительные условия, связывающие внутренние угловые координаты.

Матрица \mathbf{F}' и, таким образом, полный набор силовых констант СПОВ, вычисляются методом «разблокирования» по формуле

$$\mathbf{F}' = \tilde{\mathbf{U}}\mathbf{F}^*\mathbf{U}, \quad (4)$$

где \mathbf{U} — ортогональная матрица коэффициентов симметрии, а $\tilde{\mathbf{U}}$ — транспонированная матрица.

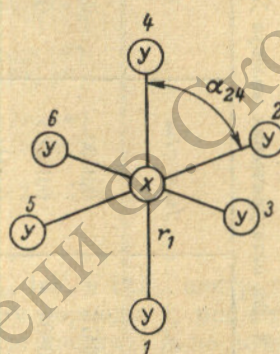
Вычисленные силовые константы (в мдин · \AA^{-1}) приведены в табл. 1. Заметим, что оптимальные варианты s ^[1, 2] находятся между 10^{-6} и 10^{-9} (см^{-1})².

Кроме того, благодаря симметрии существуют три дополнительных соотношения $f_{ra} = 0$, $f_{ra} = -f''_{ra}$ и $f_{aa} = -f''_{aa}$.

3. Обсуждение результатов

К сожалению, в настоящее время силовые постоянные f_r являются единственными, физический смысл которых мы понимаем. Для фторидов элементов главной группы VI, так же как и подгруппы VI, f_r изменяется нерегулярно (SF_6 4.96, SeF_6 4.76, TeF_6 4.99, MoF_6 4.73, WF_6 5.12, UF_6 3.77).

На самом деле эти нерегулярности не являются следствием ошибочной интерпретации спектров; они являются даже естественными, так как позволяют благодаря значениям f_r предсказать с высокой точностью длины связей $X-Y$ по правилу Баджера^[8] (табл. 2).



Система обозначений внутренних координат для молекул типа XY_6 .

Таблица 1
Силовые константы (в мдн \AA^{-1}) и порядки связей N для октаэдрических молекул XY_6

Соединение	f_r	f_{rr}	$f_{rr}^{'}$	$f_{r\alpha} = -f_{\alpha r}^{''}$	f_α	$f_{\alpha\alpha} = -f_{\alpha\alpha}^{''}$	$f'_{\alpha\alpha}$	$f'''_{\alpha\alpha}$	N
SF_6	4.964	0.3468	0.3717	0.1760	0.6478	0.0530	-0.1924	-0.2937	4.03
SeF_6	4.761	0.4229	0.3900	0.0276	0.3804	0.0382	-0.4448	-0.1509	4.08
TeF_6	4.987	0.0639	0.4956	0.0047	0.2269	0.0244	-0.0694	-0.0880	1.37
MoF_6	4.729	0.2461	0.3915	0.0044	0.2139	-0.0075	-0.0719	-0.0702	1.34
WF_6	5.122	0.2676	0.4531	0.0012	0.2055	0.0022	-0.0742	-0.0631	1.44
ReF_6	4.738	0.3862	0.0637	0.0046	0.2473	0.0621	-0.0423	-0.1627	1.34
IrF_6	4.837	0.1324	0.0560	0.0013	0.1869	0.0110	-0.0473	-0.0923	1.33
PtF_6	4.458	0.4261	-0.1893	0.0012	0.1830	0.0079	-0.0403	-0.1024	1.24
UF_6	3.769	0.2968	0.0165	0.0003	0.0947	0.0056	-0.0285	-0.0376	1.40
NpF_6	3.695	0.2633	-0.0475	0.0004	0.1113	0.0032	-0.0297	-0.0520	1.36
PuF_6	3.579	0.2229	-0.0775	0.0004	0.1192	0.0049	-0.0341	-0.0569	1.32
SeCl_6^{--}	1.668	0.4573	0.2034	0.0105	0.1064	-0.0005	-0.0360	-0.0344	0.75
PdCl_6^{--}	1.632	0.0530	0.2548	0.0113	0.1167	0.0063	-0.0351	-0.0465	0.85
SnCl_6^{--}	1.344	0.4510	0.4117	0.0057	0.0986	-0.0013	0.0322	-0.0342	0.79
PtCl_6^{--}	1.994	0.0555	0.2553	0.0052	0.1376	0.0069	-0.0343	-0.0691	1.03
PtBr_6^{--}	1.650	0.0530	0.4554	0.0063	0.0809	-0.0006	-0.0277	-0.0255	1.00

Таблица 2

Длины связей X—Y октаэдрических молекул XY₆.
Сравнение значений, полученных с помощью метода
Баджера и дифракционным методом

Молекулы	r_e , вычисленные, Å	r_e , экспериментальные, Å
SF ₆	1.62	1.56 ± 0.02 [35] 1.58 ± 0.03
SeF ₆	1.70	1.67 ± 0.03 [35] 1.70 ± 0.03
TeF ₆	1.80	1.82 ± 0.04 [35] 1.84 ± 0.03 1.824 ± 0.004 [34]
WF ₆	1.87	1.833 ± 0.008 [36]
IrF ₆	1.88	1.830 ± 0.008 [36]
UF ₆	2.03	1.996 ± 0.008 [36] 1.999 ± 0.008 [33]
SnCl ₆ ⁴⁻	2.47	от 2.39 до 2.45 [35]

К тому же было замечено, что в ряду WF₆, ReF₆, IrF₆ и PtF₆, центральные элементы которых принадлежат к одинаковому периоду, f_r меняется так же нерегулярно. Из этого следует, что изучение констант f_r не позволяет вычислить порядок связи N по Сиеберту [8, 10]. Эти порядки приведены в последнем столбце табл. 1.

Порядки N меняются гораздо регулярнее, чем константы f_r ; N растет сверху вниз для фторидов групп VI. Отмечена также закономерность для подгруппы VI от MoF₆ к WF₆ и, хотя f_r (UF₆) < f_r (WF₆), порядки связей этих двух фторидов практически одинаковые. Для одинаковых соединений, центральные элементы которых принадлежат к одинаковому периоду, N растет справа налево (WF₆ ← ReF₆ ← IrF₆ ← PtF₆; UF₆ ← NpF₆ ← PuF₆; PdCl₆⁴⁻ ← SnCl₆⁴⁻).

Заметим, что для всех изученных нейтральных фторидов N значительно выше единицы. Это усиление связи по отношению к связи σ d^2sp^3 простой ковалентности можно интерпретировать, как и в случае групп XY₄ [10], используя два эффекта: нефелоксетический эффект и эффект обратной связи.

Если сравнить константы f_r СПОВ с такими же константами K , полученными для поля Юри—Бредли, мы заметим, что константы K значительно ниже, чем f_r для 11 нейтральных гексафторидов [11–13] и также для 5 анионных групп [3, 11, 14, 39–42].

С другой стороны, сравнивая наши значения f_r со значениями, полученными Щибертом [8] методом Фадини [4], следует отметить, что МЛШ и метод Фадини приводят к близким результатам. Это видно из табл. 3, где сравниваются для SF₆, SeF₆, TeF₆ и WF₆ элементы матрицы F двухмерного блока (2×2) (T_{1u}), полученные МЛШ и методом Фадини.

В этой таблице находятся также элементы F_{33} , F_{34}/r_e и F_{44}/r_e^2 , полученные Абрамовичем и Левиным [15, 16], которые использовали, кроме нормальных частот, также и константы связи Кориолиса. Значения, полученные Абрамовичем, должны, хотя бы в принципе, быть очень близкими к реальным значениям. Совпадения между нашими данными и данными Абрамовича являются хорошими для случая SF₆ и WF₆ и удовлетворительными для SeF₆ и TeF₆. Однако следует заметить, что некоторые интерпретации Абрамовича и Левина оспаривались Руффом [43]. Таким образом, можно считать, что метод МЛШ приводит к достаточно точным результатам.

Таблица 3

Сравнение силовых констант, найденных методом логарифмических шагов, методом Фадини и Абрамовича, вычисленных из констант Кориолиса

Соединения	F_{33}	$F_{34}r_e$	$F_{44}r_e$	Ссылка
SF_6	4.59	-0.70	1.12	Наши данные
	4.68	-0.74	1.10	Фадини [37]
	4.75 ± 0.15	-0.74 ± 0.03	1.10 ± 0.03	Абрамович [15]
SeF_6	4.37	-0.11	0.68	Наши данные
	4.39	-0.12	0.68	Фадини [37]
	4.88 ± 0.10	-0.44 ± 0.03	0.64 ± 0.01	Абрамович [16]
TeF_6	4.79	-0.02	0.41	Наши данные
	4.78	-0.01	0.41	Фадини [37]
	4.98 ± 0.10	-0.24 ± 0.05	0.40 ± 0.05	Абрамович [15]
WF_6	4.67	-0.005	0.28	Наши данные
	4.68	-0.01	0.28	Фадини [37]
	4.68 ± 0.08	-0.03 ± 0.04	0.28 ± 0.01	Абрамович [16]

Рассмотренные числовые значения констант в табл. 1 позволяют судить также о правомерности упрощений, предлагаемых в литературе [13, 5, 17–22, 38]. Напомним, что среди 11 силовых констант f_r , f_a , f_{rr} и f_{ra} значительно отличаются, по нашему мнению, от нуля и для того, чтобы их найти, приходилось пренебречь 5 константами из 7. Другие авторы [18] исключали лишь 4 константы и предлагали пропорциональное соотношение для f_{rr} и f'_{rr} . Согласно табл. 1, ни одно из этих упрощений не является обоснованным. То же самое можно сказать и об упрощении, предложенном Классеном [6], в котором он использовал $f_{ra} - f'_{ra} = 0.03$ мдин· \AA^{-1} для всякой октаэдрической группы. Согласно табл. 1, значение $f_{ra} - f'_{ra}$ достигает 0.352, 0.055, 0.0094, 0.0088, 0.0024 и 0.0006 мдин· \AA^{-1} соответственно для SF_6 , SeF_6 , TeF_6 , MoF_6 , WF_6 и UF_6 . Таким образом, для фторидов элементов главной группы VI, также как и подгруппы VI, $f_{ra} - f'_{ra}$ уменьшается значительно по мере уменьшения массы центрального атома.

4. Расчет среднеквадратичных амплитуд и средних амплитуд колебаний в рамках СПОВ

Используемые обозначения совпадают с [1]. Элементы матриц Σ и Σ' раскладываются соответственно как элементы матриц F и F' . Выражения элементов Σ и Σ' как функции 11 среднеквадратичных амплитуд σ выводятся соответственно из выражений элементов F и F' при замене всех f на σ , умножение $(r_e f)$ заменяется на $(1/r_e \sigma)$ и произведение $(r_e^2 f)$ на $(1/r_e^2 \sigma)$. Индексы остаются без изменений.

Элементы Σ_{11} , Σ_{22} , Σ_{55} и Σ_{66} вычисляются непосредственно. Другое дело для элементов Σ_{33} , Σ_{34} и Σ_{44} . Сондарам [23] пренебрегает недиагональным элементом Σ_{34} (наши вычисления показывают, что это упрощение не всегда обосновано). Нагараджан [24] пользуется аналогичным упрощением, за исключением случаев, достаточно часто встречающихся: пренебрегая Σ_{34} , он получает мнимые диагональные элементы. В этом случае [7, 19, 24–26] он вычисляет Σ_{33} , Σ_{44} и Σ_{34} методом прогрессирующей жесткости Торкингтона—Ларноди [27, 28]. Другие авторы [29–31, 44] приняли метод Мюллера, идентичный методу Торкингтона—Ларноди. Однако, как показано в табл. 4, средние амплитуды колебаний u_{x-y} , вычисленные Нагараджаном [26] и с помощью метода Мюллера [21, 29, 32, 38], заметно различаются между собой.

Что касается средних амплитуд колебаний, определенных дифракцией электронов в [36], то они являются слишком неточными (меняются с длиной волны используемых электронов) для того, чтобы сравнивать с другими данными.

Таблица 4

Сравнение между средними амплитудами колебаний — расчетными и экспериментальными при 298° К

Соединения	u_{X-Y} , вычисленные, Å	u_{X-Y} , экспериментальные, Å
TeF ₆	0.0461 От 0.0408 до 0.0388 0.0393	$\left[{}^{26}\right]$ $\left[{}^{38}\right]$ $\left[{}^{32}\right]$ 0.0385 ± 0.002 Сейп [34]
WF ₆	0.0586 От 0.0403 до 0.0385 0.0394 0.03846	$\left[{}^{38}\right]$ $\left[{}^{21}\right]$ $\left[{}^{29}\right]$ От 0.035 до 0.070 Кимура [36]
IrF ₆	0.0534 От 0.0405 до 0.0390 0.0397	$\left[{}^{26}\right]$ $\left[{}^{38}\right]$ $\left[{}^{21}\right]$ От 0.044 до 0.064 Кимура [36]
UF ₆	0.0702 От 0.0444 до 0.0423	$\left[{}^{26}\right]$ $\left[{}^{38}\right]$ От 0.049 до 0.071 Кимура [36]
NpF ₆	0.0425 0.04241	$\left[{}^{32}\right]$ $\left[{}^{29}\right]$ 0.0430 ± 0.0009 Сейп [33]
PuF ₆	0.0673 От 0.0445 до 0.0426	$\left[{}^{26}\right]$ $\left[{}^{38}\right]$ От 0.054 до 0.069 Кимура [36]
	0.0669 От 0.0447 до 0.0430	$\left[{}^{26}\right]$ $\left[{}^{38}\right]$ 0.031 Кимура [36]

Нам представлялось интересным произвести расчет элементов Σ_{33} , Σ_{34} и Σ_{44} , используя МЛШ, который нас полностью удовлетворил для тетраэдрических групп XY_4 [1]. Было использовано 150 логарифмических шагов без пост-итераций.

Вычисленные значения всех σ в Å² и всех $u\text{Å}$ ($u = \sqrt{\sigma_r}$) приведены в табл. 5 (0° К) и 6 (298° К). Из молекулярной симметрии вытекают три соотношения $\sigma_{rz} = 0$, $\sigma_{rx} = -\sigma_{ra}$ и $\sigma_{az} = -\sigma_{aa}$.

Заметим, что u , вычисленные при 298° К для TeF₆ и UF₆, совпадают достаточно точно с определенными Сейпом [33, 34] с большой точностью (табл. 4). С другой стороны, наши результаты совпадают с полученными по методу Мюллера. Что касается данных, полученных Нагараджаном [26], то они представляются с нашей точки зрения ошибочными.

В отличие от силовых констант f , или от порядков связей i мало изменяются в ряду сравнимых группировок (например, в ряду нейтральных гексафторидов, в ряду комплексных анионов хлора). Если рассматривать все u , вычисленные Аусти и Мехтой [29, 30] для WCl₆, SnCl₆⁻, TiCl₆⁻, UCl₆⁻, SnBr₆⁻ и TiBr₆⁻ и Нагараджаном [25] для PtF₆, мы придем к следующим выводам (эти выводы должны быть приняты с некоторой осторожностью из-за недостатка численных данных): u растет, когда F заменяется на Cl и Br (например, PtF₆⁻, PtCl₆⁻, PtBr₆⁻, SnCl₆⁻, SnBr₆⁻, TiCl₆⁻, TiBr₆⁻, WF₆, WCl₆) при 298° К; при 0° К наблюдается обратное явление (табл. 5, [30]); u слегка растет, когда переходим от нейтральных группировок галогенов к анионовым группировкам, содержащим те же галогены (например, нейтральные фториды → PtF₆⁻, WCl₆ → → хлоросодержащий анион из табл. 6); степени уменьшения u при переходе от 298 к 0° К зависят прежде всего от природы галогена. Эти степени уменьшения находятся между 2.3 и 5.9% для фторопроизводных, 17 и 26% для хлоропроизводных и 25 и 37% для бромопроизводных.

Вместе с тем нам представляется, что эти степени зависят также от природы центрального атома и от заряда ядра. Для нейтральных гексафторидов эти степени зависят от периода, к которому принадлежит центральный атом (SF₆ 2.3%; SeF₆ 2.5%; TeF₆ и MoF₆ 2.6 и 2.7%; WF₆, ReF₆, IrF₆, PtF₆ 3.1–4.0%; UF₆, NpF₆, PuF₆ 5.4–5.8%).

Таблица 5

Среднеквадратичные амплитуды σ (в \AA^2) и средние амплитуды колебаний u (в \AA) для октаэдрических молекул XY_6 при 0° К

Соединения	σ_r	σ_{rr}	σ_{rr}''	$\sigma_{r\alpha} = -\sigma_{\alpha r}''$	σ_α	$\sigma_{\alpha\alpha} = -\sigma_{\alpha\alpha}''$	σ'_α	$\sigma'''_{\alpha\alpha}$	u
SF_6	0.001764	-0.00003881	-0.00046402	-0.00036302	0.0047148	-0.00025582	-0.0016932	-0.0013283	0.0420
SeF_6	0.0015789	-0.00001510	-0.00026888	-0.00013801	0.0054654	-0.00006892	-0.0021907	-0.0010839	0.0397
TeF_6	0.0014572	-0.00000789	-0.00015271	-0.00003874	0.0069663	-0.0017708	-0.0028167	-0.0013330	0.0382
MoF_6	0.0015408	-0.00002973	-0.00022040	-0.00005698	0.0071410	0.00031453	-0.0027683	-0.0016044	0.0393
WF_6	0.0014037	-0.00002845	-0.00013839	-0.00001363	0.0071001	0.0010081	-0.0027813	-0.0015374	0.0375
ReF_6	0.0014702	-0.00005007	-0.00009162	-0.00002630	0.0076619	-0.00058195	-0.0036067	-0.0004485	0.0383
IrF_6	0.0014319	-0.00001715	-0.00008705	-0.00001316	0.0076602	-0.00004016	-0.0034125	-0.0008352	0.0378
PtF_6	0.0014893	-0.00002041	-0.00004892	-0.00001296	0.0078804	0.00000905	-0.0036969	-0.00044867	0.0386
UF_6	0.0016107	-0.00005505	-0.00005925	-0.00000658	0.0105381	-0.00009582	-0.0043923	-0.0017535	0.0401
NpF_6	0.0016256	-0.00005186	-0.00004893	-0.00000714	0.0098016	0.00004225	-0.0043070	-0.0011875	0.0403
PuF_6	0.0016479	-0.00004698	-0.00004382	-0.00000711	0.0094856	0.00008339	-0.0042050	-0.0010756	0.0406
SeCl_6^{--}	0.0024476	-0.00006124	-0.00052831	-0.00031934	0.0077210	0.00039625	-0.0028644	-0.0019921	0.0463
PdCl_6^{--}	0.0020800	-0.00002140	-0.00049439	-0.00026143	0.0072862	0.00012604	-0.0028993	-0.0014875	0.0456
SnCl_6^{--}	0.0022542	-0.00008484	-0.00040048	-0.00020856	0.0078181	0.00032736	0.0030286	-0.0017608	0.0475
PtCl_6^{--}	0.0017451	-0.00001727	-0.00029369	-0.00009333	0.0066238	0.00002948	-0.0029351	-0.0007535	0.0448
PtBr_6^{--}	0.0013984	-0.00001519	-0.00031852	-0.00016763	0.0058321	0.00027743	-0.0021749	-0.0014824	0.0374

Таблица 6

Таблица 6
Среднеквадратичные амплитуды σ (в \AA^2) и средние амплитуды колебаний π (в \AA) для октаэдрических молекул $X Y_6$ при 298° К

Соединения	σ_{rr}	σ'_{rrr}	σ''_{rrr}	$\sigma_{rr} = \sigma'_{rr}$	σ_{α}	$\sigma_{\alpha\alpha} = \sigma'_{\alpha\alpha}$	$\sigma_{\alpha\alpha} = \sigma''_{\alpha\alpha}$	$\sigma'_{\alpha\alpha}$	$\sigma''_{\alpha\alpha}$	π
SF_6	0.0018503	-0.00005099	-0.00044583	-0.00045109	0.0056691	0.00003007	-0.0019863	-0.0016964	0.0430	
SeF_6	0.0016633	-0.00002018	-0.00024907	-0.00011176	0.0079773	-0.00053409	-0.0029129	-0.0021515	0.0408	
TcF_6	0.0015363	-0.00001056	-0.00012994	-0.00002642	0.012425	-0.0010702	-0.0043918	-0.0036412	0.0392	
MoF_6	0.0016244	-0.00003967	-0.00019430	-0.00003960	0.012447	0.00045505	-0.0042649	-0.0038872	0.0403	
WF_6	0.0014902	-0.00003689	-0.00013390	-0.00000889	0.012756	-0.00007896	-0.0042989	-0.0041585	0.0386	
ReF_6	0.0015780	-0.00006823	-0.00006292	-0.00001802	0.015463	-0.0023653	-0.0067709	-0.0019216	0.0397	
IrF_6	0.0015295	-0.00002382	-0.00006774	-0.00000855	0.014477	-0.00055192	-0.0061326	-0.0022114	0.0391	
PtF_6	0.0016100	-0.00002918	-0.00001320	-0.00000839	0.015460	-0.00036057	-0.0070791	-0.0010022	0.0401	
UF_6	0.0017987	-0.00008203	-0.00002835	-0.00000430	0.026518	-0.0013216	-0.0097099	-0.0070977	0.0424	
NpF_6	0.0018200	-0.00007844	-0.00001163	-0.00000462	0.022832	-0.00045590	-0.0093631	-0.0040963	0.0427	
PuF_6	0.0018537	-0.00007226	-0.00000391	-0.00000457	0.021437	-0.00021736	-0.0089750	-0.0035232	0.0431	
$SeCl_6^{--}$	0.0031349	-0.00016726	-0.00045466	-0.00029029	0.022790	-0.00020228	-0.0072563	-0.0076473	0.0560	
$PdCl_6^{--}$	0.0031262	-0.00005867	-0.00056294	-0.0024044	0.021432	0.00092174	-0.0077018	-0.0057286	0.0559	
$SnCl_6^{--}$	0.0037028	-0.00026246	-0.00028651	-0.00018946	0.024379	0.00036761	-0.0083697	-0.0076394	0.0609	
$PtCl_6$	0.0025547	-0.00004352	-0.000035005	-0.00007300	0.018463	0.00063927	-0.0078839	-0.0026951	0.0505	
$PtBr_6$	0.0027738	-0.00006364	-0.00031291	-0.00019288	0.029065	0.00027043	-0.0094566	-0.010152	0.0527	

Нам представляется также, что эти степени растут при переходе от нейтральной группы к анионной группировке (например, нейтральные гексафториды 2.3 до 5.8%, PtF_6 5.9%, 17% → хлорпроизводные анионы 17 до 26%).

Мы глубоко благодарны Виктору Котельникову за перевод рукописи с французского языка.

Литература

- [1] E. Wendling, S. Mahmoudi. Rev. Chim. Minérale, 7, 1007, 1970.
- [2] E. Wendling, S. Mahmoudi. Bull. Soc. Chim. France, 4248, 1970.
- [3] P. J. Hendra, P. J. D. Park. Spectrochim. Acta, 23A, 1635, 1967.
- [4] A. Fadini. Ber. Bunsenges. phys. Chem., 73, 707, 1969.
- [5] C. W. F. T. Pistorius. J. Chem. Phys., 29, 1328, 1958.
- [6] H. H. Claassen. J. Chem. Phys., 30, 968, 1959.
- [7] G. Nagarajan, T. A. Hariharan. Acta phys. Austriaca, 21, 366, 1966.
- [8] J. Gaunt. Trans. Faraday Soc. 50, 546, 1954.
- [9] H. Siebert. Anwendungen der Schwingungsspektroskopie in der anorganischen Chemie. Springer, Berlin, 1966.
- [10] E. Wendling, S. Mahmoudi. Compt. rend., Série C, 271, 5, 1970.
- [11] J. Hiraishi, I. Nakagawa, T. Shimamoto. Spectrochim. Acta, 20, 819, 1964.
- [12] S. N. Thakur, D. K. Rai. J. Mol. Spectr., 19, 341, 1966.
- [13] K. Venkateswarlu, V. M. Devi. Current Sci., 37, 370, 1968.
- [14] J. Hiraishi, T. Shimamoto. Spectrochim. Acta, 22, 1483, 1966.
- [15] S. Abramowitz, I. W. Levin. J. Chem. Phys., 44, 3353, 1966.
- [16] S. Abramowitz, I. W. Levin. Inorg. Chem., 6, 538, 1967.
- [17] K. Schwochau, W. Krasser. Z. Naturforsch., 24, 403, 1969.
- [18] W. van Bronswyk, R. J. H. Clark, L. Maresca. Inorg. Chem., 5, 1395, 1969.
- [19] G. Nagarajan. Current Sci., 32, 448, 1963.
- [20] R. B. Singh, D. K. Rai. Canad. J. Phys., 43, 167, 1965.
- [21] O. N. Singh, D. K. Rai. Canad. J. Phys., 43, 378, 1965.
- [22] I. R. Beattie, K. M. S. Livingston, G. A. Ozin, D. J. Reynolds. J. Chem. Soc. (A), 958, 1969.
- [23] S. Sundaram. Z. phys. Chem. N. F., 34, 225, 1962.
- [24] G. Nagarajan, J. R. Durig. Bull. Soc. roy. Liège, 36, 334, 1967.
- [25] G. Nagarajan. Bull. Soc. Chim. belges, 73, 799, 1964.
- [26] G. Nagarajan. Bull. Soc. Chim. belges, 72, 537, 1963.
- [27] P. Torkington. J. Chem. Phys., 17, 357, 1949.
- [28] M. Larnaudie. J. phys. Radium, 15, 365, 1954.
- [29] M. N. Awasthi, M. L. Mehta. Spectroscopy Letters, 2, 327, 1969.
- [30] M. N. Awasthi, M. L. Mehta. Z. Naturforsch., 24, 2029, 1969.
- [31] A. Müller. Z. phys. Chem. Leipzig, 238, 416, 1968.
- [32] E. Meisingseth, J. Brunvoll, S. J. Cyvin. Kgl. Norske Videnskabs Selskabs Skrifter, № 7, 1964.
- [33] H. M. Seip. Acta Chem. Scand., 19, 1955, 1965.
- [34] H. M. Seip, R. Stolevik. Acta Chem. Scand., 20, 1535, 1966.
- [35] «Tables of Interatomic distances and configuration in Molecules and Ions», Spec. Publication № 11. London, The Chemical Society, Burlington House W. 1, 1958.
- [36] M. Kimura, V. Schomaker, D. W. Smith, B. Weinstock. J. Chem. Phys., 48, 4001, 1968.
- [37] A. Müller, A. Fadini, C. Peacock. Z. phys. Chem. 238, 17, 1968.
- [38] M. Kimura, K. Kimura, J. Mol. Spectr., 11, 368, 1963.
- [39] D. M. Adams, D. M. Morris. J. Chem. Soc., (A), 1666, 1967.
- [40] D. M. Adams, D. M. Morris. J. Chem. Soc. (A), 1669, 1967.
- [41] H. Poulet, C. Belgodère, M. Debeau. Compt. rend., Série B, 267, 2916, 1968.
- [42] M. Debeau, H. Poulet. Spectrochim. Acta, 25A, 1553, 1969.
- [43] A. Ruoff. J. Mol. Structure, 4, 332, 1969.
- [44] C. J. Peacock, A. Müller. J. Mol. Spectr., 26, 454, 1968.

Алжир, Университет,
Химический департамент.

Поступило в Редакцию 2 февраля 1971